

مدل‌سازی الگوی تداخلی چین‌ها در مجموعه دگرگونی شمال گلپایگان با استفاده از نرم‌افزار متلب

محمد رضا شیخ‌الاسلامی^(۱)

۱. دانشیار پژوهشکده علوم زمین، سازمان زمین‌شناسی و اکتشافات معدنی کشور

تاریخ دریافت: ۱۳۹۹/۰۶/۱۶

تاریخ پذیرش: ۱۳۹۹/۰۹/۰۹

چکیده

مدل‌سازی ساختارهای زمین‌شناسی نقش مهمی در شناخت هندسه ساختارها و نیز درک روابط ساختارها با یکدیگر دارد. در سال‌های اخیر مدل‌سازی رقومی با استفاده از رایانه مورد اقبال و توجه مهندسان و پژوهشگران علوم پایه قرار گرفته است. "متلب" یکی از نرم‌افزارهایی است که با امکانات گستره خود برای تجزیه و تحلیل داده‌ها و مدل‌سازی در علوم مختلف از جمله زمین‌شناسی ساختاری مورد استفاده قرار می‌گیرد. در این نوشتار مدل‌های ممکن از الگوهای تداخلی سه نسل چین‌خوردگی در سنگ‌های دگرگون ناحیه گلپایگان با استفاده از کدنوشته شده در نرم‌افزار متلب بازسازی شده‌اند. داده‌های مورد نیاز برای مدل‌سازی الگوهای تداخلی شامل وضعیت محور چین میانگین و صفحه‌های محوری میانگین مربوط به سه نسل پیاپی از چین‌خوردگی در سنگ‌های دگرگون هستند و بر پایه اندازه‌گیری‌های صحرایی به دست آمده‌اند. بررسی‌های صحرایی نشان می‌دهد، چین‌های نسل اول و دوم تا حدودی هم محور ولی چین‌های نسل سوم دارای روند محوری متفاوت با دو نسل چین‌خوردگی پیش از خود هستند. نتایج حاصل از مدل‌سازی نشان می‌دهد شکل‌گیری چهار حالت کلاسیک از الگوی تداخلی چین‌ها در برش‌های افقی (دید نقشه‌ای) و عمودی سنگ‌های دگرگون گلپایگان امکان‌پذیر است. الگوهای تداخلی به دست آمده توسط این مدل‌سازی همخوانی نزدیکی با الگوهای تداخلی واقعی مشاهده شده در مقیاس رخمنون و مقیاس ناحیه‌ای دارند. با استفاده از مدل‌سازی صورت گرفته می‌توان تعیین کرد، الگوهای تداخلی متفاوت چین‌ها در مجموعه دگرگونی شمال گلپایگان مربوط به فرانهادگی کدام نسل‌های چین‌خوردگی هستند.

واژه‌های کلیدی: الگوی تداخلی، چین، گلپایگان، مدل‌سازی، نرم‌افزار متلب.

مقدمه

سنگ‌های مجموعه دگرگونی شمال گلپایگان بخشی از واحدهای دگرگون ایران مرکزی هستند که در لبه جنوبی آن در کنار پهنه سندج-سیرجان واقع شده‌اند (شیخ‌الاسلامی و زمانی پدرام، ۱۳۸۴). بررسی ویژگی‌های دگرگونی و ساختاری در این ناحیه نشان می‌دهد، سنگ‌های این مجموعه تحت اثر چندین مرحله دگرگونی و دگریختی قرار

* نویسنده مرتبط: rezasheikholeslami@yahoo.com

روش مطالعه

در این مقاله بر پایه اندازه‌گیری محور و سطوح محوری چین‌ها در مجموعه دگرگونی شمال گلپایگان، هندسه چین‌ها تفکیک و به صورت استریوگرام‌های سه نسل چین‌خوردگی، با استفاده از نرم‌افزارهای استریوونت و تکتونیک اف پی رسم شده‌اند. پس از تعیین محور و صفحه‌های محوری میانگین مربوط به هر یک از سه نسل چین‌خوردگی، الگوهای تداخلی ممکن، حاصل فراهم‌آوری نسل‌های مختلف چین‌خوردگی توسط نرم‌افزار متلب بازسازی شده‌اند. در مرحله بعد انتطباق مدل‌های به دست آمده با الگوهای تداخلی واقعی چین‌ها در مقیاس رخنمون و در مقیاس ناحیه‌ای بررسی شده است.

معرفی مرحله‌های دگریختی در مجموعه دگرگون گلپایگان

بررسی عناصر ساختاری شامل برگوارگی، خطوارگی و چین‌خوردگی‌ها در واحدهای مختلف دگرگونی و نیز زمان نسبی شکل‌گیری آن‌ها نشان می‌دهد که دست کم سه مرحله‌ی اصلی دگریختی شکل‌پذیر این سنگ‌ها را تحت تاثیر قرار داده‌اند (Sheikholeslami et al., 2019). ایجاد دگریختی ناحیه‌ای در این سنگ‌ها در ابتدا باعث شکل‌گیری چین‌ها و برگوارگی‌های اولیه در مجموعه‌های سنگی مختلف شده که طی مراحل بعدی هندسه آنها تغییر کرده است. طی مرحله اول دگریختی شکل‌پذیر (D1)، سنگ‌های رسوبی و آذرین موجود در ناحیه دچار تغییرات ساختاری و بافتی شده‌اند. در این مرحله چین‌های نسل اول، برگوارگی نسل اول، خطواره‌ها و بودین‌های نسل اول شکل گرفته‌اند.

مرحله‌ی دوم دگریختی در ادامه شرایط دگریختی شکل‌پذیر روی داده و حاصل آن ایجاد ساختارهای میلونیتی در مقیاس گستره است (Moosavi et al., 2014). چین‌های نسل دوم، برگوارگی میلونیتی و خطواره کشیدگی کانی در این مرحله از دگریختی ایجاد شده‌اند. در اثر برش و جابجایی ایجاد

کدام با ساختارهای خاص خود قابل شناسایی هستند. بررسی مراحل دگریختی بر پایه مطالعات ساختاری و ریساختاری نشان می‌دهد، سنگ‌های موجود در این ناحیه تحت اثر پنج مرحله دگریختی قرار گرفته‌اند. سه مرحله اول دگریختی در شرایط دگریختی شکل‌پذیر، مرحله چهارم دگریختی در شرایط شکل‌پذیر-شکننده^۱ و آخرین مرحله دگریختی در شرایط شکننده^۲ روی داده است (Moritz et al., 2006; Sheikholeslami et al., 2019). چین‌خوردگی‌ها از ساختارهایی هستند که طی سه نسل متوالی در جریان دگریختی شکل‌پذیر پیش‌رونده به وجود آمده‌اند. در این پژوهش چین‌های شکل گرفته طی این سه نسل متوالی معرفی و الگوی تداخلی آن‌ها بازسازی شده‌اند. مدل‌سازی الگوهای تداخلی چین‌ها بر پایه کد نوشته شده در نرم‌افزار متلب توسط M.P.J Schöpfer (www.fault-analysis-group.ucd.ie) صورت گرفته است. در نهایت الگوهای به دست آمده توسط مدل‌سازی با الگوهای تداخلی واقعی مشاهده شده در صحراء مقایسه شده‌اند.

جایگاه زمین ساختی و زمین‌شناسی ناحیه‌ای

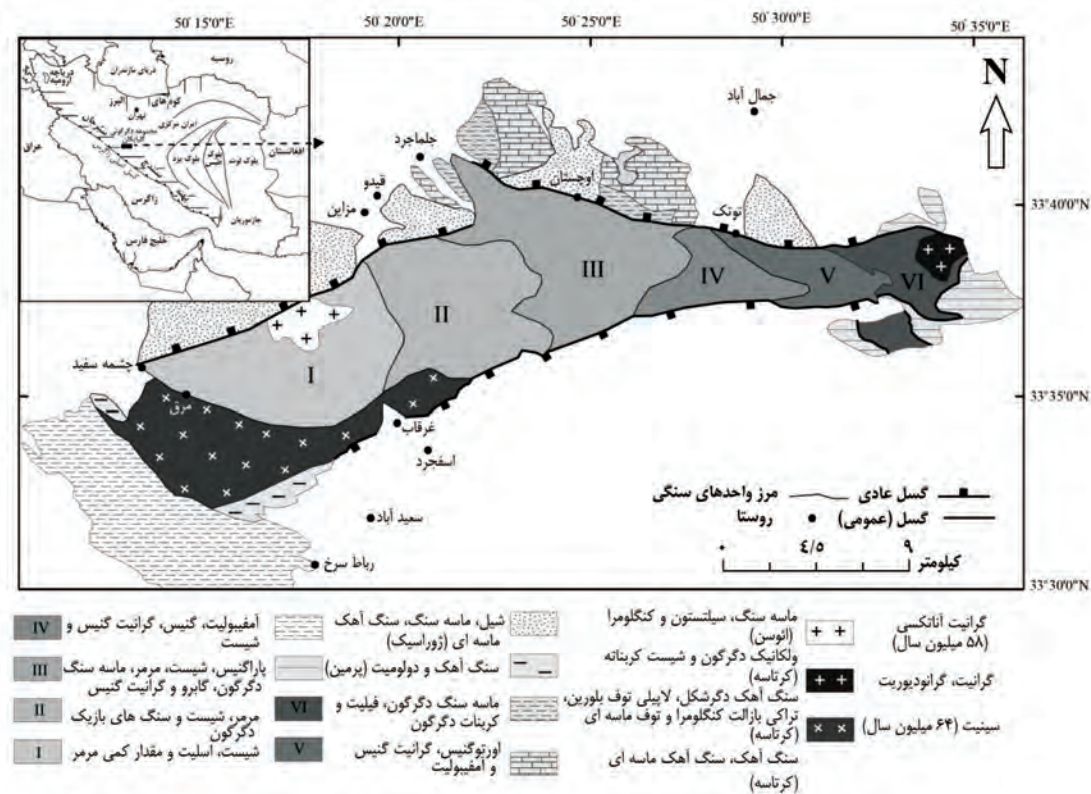
مجموعه دگرگونی گلپایگان در حاشیه جنوب غربی پهنه ایران مرکزی واقع شده است (شکل ۱). راندگی اصلی زاگرس این ناحیه را از کوههای زاگرس جدا می‌کند. مجموعه دگرگونی گلپایگان شامل بخش شرقی در شمال موته و بخش غربی، در شمال گلپایگان است (رضایی‌نژاد و همکاران، ۱۳۹۶، Rachidnejad-Omrani et al., 2002; Moosavi et al., 2014). این مجموعه دگرگونی از سنگ‌های مختلفی شامل شیست، مرمر، اسلیت، گنیس و آمفیبولیت به سن پرکامبرین تا کامبرین تشکیل شده است. سنگ‌های دگرگون در این مجموعه توسط سنگ‌های کربناته پرمین، رسوبات تخریبی زوراسیک، سنگ‌های کربناته کرتاسه و رسوبات تخریبی ائوسن پوشیده شده‌اند. پهنه‌های برشی کششی و نیز گسل‌های جدایشی^۳ سنگ‌های دگرگون را از سنگ‌های دگرگون نشده و نیز سنگ نهشت‌های پرکننده حوضه‌های رسوبی جدا کرده‌اند (Moritz et al., 2006) (شکل ۱).

1. Ductile

2. Ductile-Brittle

3. Brittle

4. Detachment faults



شکل ۱. نقشه زمین‌شناسی ساده از مجموعه دگرگونی شمال گلپایگان و جایگاه زمین ساختی آن در میان پهنه‌های ساختاری ایران (Sheikholeslami et al., 2019)

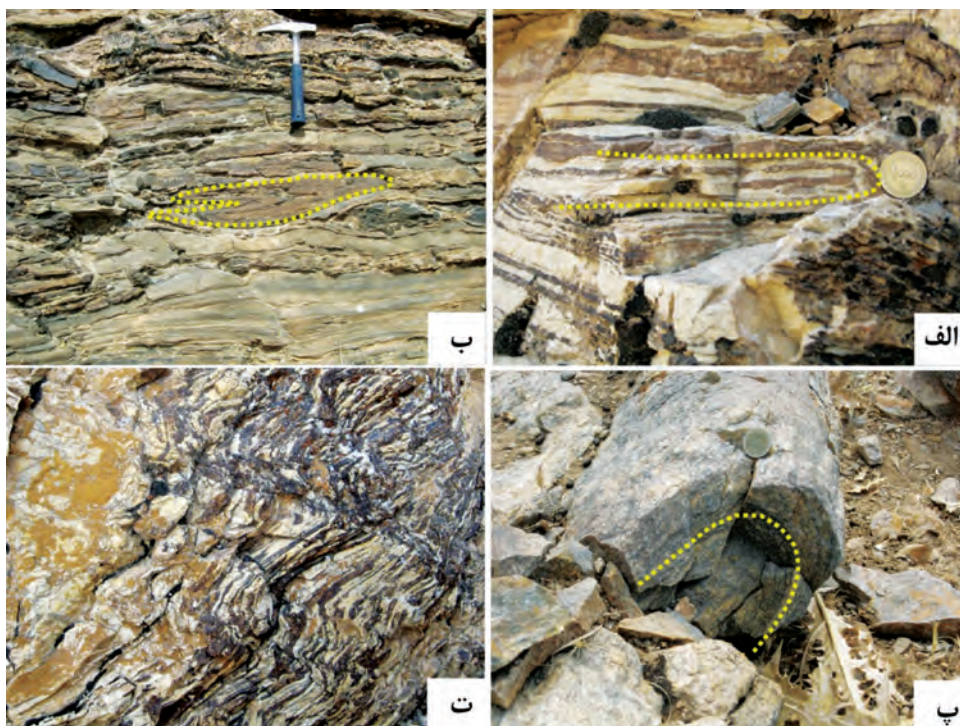
ایجاد فشردگی و کشیدگی در جریان اعمال دگریختی های بعدی، یال های این دسته چین ها کشیده شده و ضخامت آنها در بخش لولا افزایش یافته است. در نتیجه این فرآیند، بیشتر این چین ها به حالت چین های مشابه^۲ و بدون ریشه درآمده اند (شکل ۲-ب). از ویرگی های شناسایی این چین ها در صحراء همراه نبودن آن ها با ریز چین ها و یا چین های پارازیتی است. این دسته از چین ها در انواع سنگ ها و در مقیاس رخت منون دیده می شوند، ولی تمرکز آن ها در مرمر و کالک شیسته های منطقه بیشتر و در گنیس، شیست، اسلیت و کوارتزیت کمتر است. استریوگرام های شکل های ۳-الف و ب نشان دهنده مقادیر اندازه گیری شده محور و صفحه محوری چین های F1 در واحد های دگرگونی مختلف می باشد. محور میانگین این دسته از چین ها دارای وضعیت ۰۹۶/۱۷ (میل/رونده) و صفحه محوری میانگین (شیب/جهت شب) می باشد.

شده طی این مرحله از دگریختی، چین‌ها و بودین‌های شکل گرفته در مرحله اول و دوم به ترتیب به چین‌های جدا شده و بی‌ریشه و بودین‌های کشیده و نامتقارن تبدیل شده‌اند. مرحله سوم دگریختی به نسبت مرحله‌های قبل، شدت کمتری داشته و در شرایط دگرگونی پایین‌تری روی داده است. با این حال دگریختی هنوز در شرایط شکل‌پذیر بوده است. با توجه به ویژگی‌های سنگ‌شناسی هر کدام از واحدهای دگرگونی، ساختارهای مربوط به این مرحله در تمامی واحدها به صورت یکسان گسترش نداشته و در برخی واحدها گسترش کمتری دارد. این مرحله دگریختی باعث ایجاد چین‌ها، برگوارگی‌ها و خطاوارگی‌های نسل سوم شده است.

هندسه چیزها

چین‌های نسل اول (F1): چین‌های نسل اول بیشتر به صورت چین‌های هم‌شیب^۱ دیده می‌شوند (شکل ۲-الف). یال‌های این چین‌ها موازی با برگ‌وارگی اولیه (S1) بوده و تنها در بخش لولای چین با این برگ‌وارگی، زاویه می‌سازند. به دلیل

1. Isoclinal
2. Similar folds



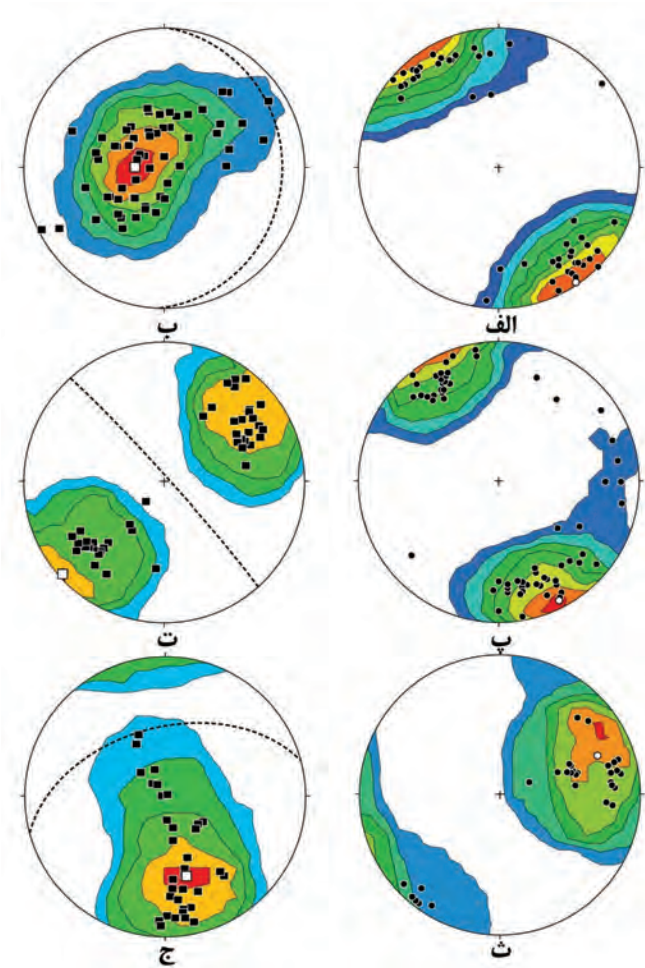
شکل ۲. نمونه هایی از چین های ایجاد شده در مرحله های مختلف دگر بختی، (الف) چین نسل اول (F1) از نوع موازی با برگوارگی در توالی مرمر و کالک شیست، جنوب جلم مجرد، (ب) چین نسل اول بدون ریشه در مرمرهای جنوب شرقی مزاین که در اثر جابجایی و ایجاد برش شکل گرفته است، (پ) چین نسل دوم با صفحه محوری پرشیب در گنیس های جنوب توک، (ج) چین نسل سوم از نوع ریز چین در شیسته های جنوب غربی مزاین

سوم دگر بختی ایجاد شده اند، بیشتر از نوع ریز چین^۱ و چین های میان مقیاس هستند. صفحه محوری آن ها با برگوارگی اولیه زاویه بزرگی می سازد (شکل ۲-ت). به دلایل سنگ شناسی و کانی شناسی، حضور این چین ها در انواع شیسته ها، به ویژه میکاشیسته های ناحیه بیشتر است. ریز چین ها به دو گونه گسترش یافته اند. دسته ای از آن ها توسط برگوارگی ریز چین قطع شده و دسته ای دیگر شامل ریز چین های مت شکل از لایه های غنی از کانی های مافیک و لایه های کوارتز فلد سپاتیک، بدون حضور برگوارگی ریز چین هستند. استریو گرام های شکل های ۳-ث و ۳-پ و ت نشان دهنده وضعیت نشان دهنده و صفحه محوری این چین ها در واحد های دگرگونی مختلف می باشند. محور میانگین این دسته از چین ها دارای وضعیت $153^{\circ}/06^{\circ}$ (میل / روند) و صفحه محوری میانگین $48^{\circ}/87^{\circ}$ (شیب / جهت شیب) می باشد.

چین های نسل دوم (F2): چین های نسل دوم بیشتر از نوع چین های ایستاده افقی تا مایل هستند و از مشخصه های شناسایی آن ها همراهی با چین های پارازیتی S، Z و M شکل است. این چین ها هم به صورت موازی و هم به صورت مشابه دیده می شوند. گسترش این چین ها در مرمر، کالک شیست و گنیس به نسبت واحدهای سنگی دیگر بیشتر است (شکل ۲-پ). این چین ها بیشتر در مقیاس رخمنون هستند اما انواع ناحیه ای آنها نیز توسط موسوی و مجلل (۱۳۹۳) گزارش شده اند.

استریو گرام های شکل ۳-پ و ت نشان دهنده وضعیت محور و صفحه های محوری این چین ها در واحد های دگرگونی مختلف می باشند. محور میانگین این دسته از چین ها دارای وضعیت $153^{\circ}/06^{\circ}$ (میل / روند) و صفحه محوری میانگین $48^{\circ}/87^{\circ}$ (شیب / جهت شیب) می باشد.

چین های نسل سوم (F3): این چین ها که طی مرحله



شکل ۳. استریوگرام‌های نمایش‌دهنده محور و صفحه‌های محوری اندازه‌گیری شده چین‌های نسل‌های مختلف در مجموعه دگرگونی شمال گلپایگان، (الف) استریوگرام محور چین‌های نسل اول (F1)، (ب) استریوگرام صفحه محوری چین‌های نسل اول، (پ) استریوگرام محور چین‌های نسل دوم (F2)، (ت) استریوگرام صفحه محوری چین‌های نسل دوم، (ث) استریوگرام محور چین‌های نسل سوم (F3)، (ج) استریوگرام صفحه محوری چین‌های نسل سوم، (محور چین با دایره سیاه، قطب صفحه محوری چین با مربع سیاه، محور میانگین با دایره سفید، قطب صفحه محوری میانگین با مربع سفید و صفحه محوری میانگین با خطچین نمایش داده شده‌اند. استریوگرام‌ها بر پایه اندازه‌گیری مستقیم عناصر ساختاری در صحراء و داده‌های ساختاری ارائه شده توسط Moosavi et al., 2014 (رسم شده‌اند)

چین‌های فرانهاده و الگوهای تداخلی

چین‌ها

صورت ناهم محور خوانده می‌شوند. فرآیند چین خوردگی مجدد را بازچین خوردگی^۱ و الگوهای ناشی از بازچین خوردگی را الگوهای تداخلی چین^۲ می‌نامند. نوع الگوی تداخلی اطلاعاتی را در مورد جهت‌گیری و روابط زاویه‌ای دو نسل از چین ارائه می‌کند. بر پایه جهت‌گیری محور صفحات محوری چین‌های فرانهاده، چهار الگوی مشخص مطابق

در مناطقی که رویدادهای متعدد دگریختنی اثر کرده‌اند، افزون بر چین‌های اولیه، ساختارهای پیچیده‌تری به نام چین‌های فرانهاده شکل می‌گیرند. این ساختارهای حاصل تکرار فرآیند چین خوردگی هستند. چین فرانهاده چینی است که محور یا صفحه محوری آن توسط یک چین جوان‌تر چین خوردده باشد. چنانچه چین‌های فرانهاده دارای محورهای موازی با یکدیگر باشند، هم محور و در غیر این

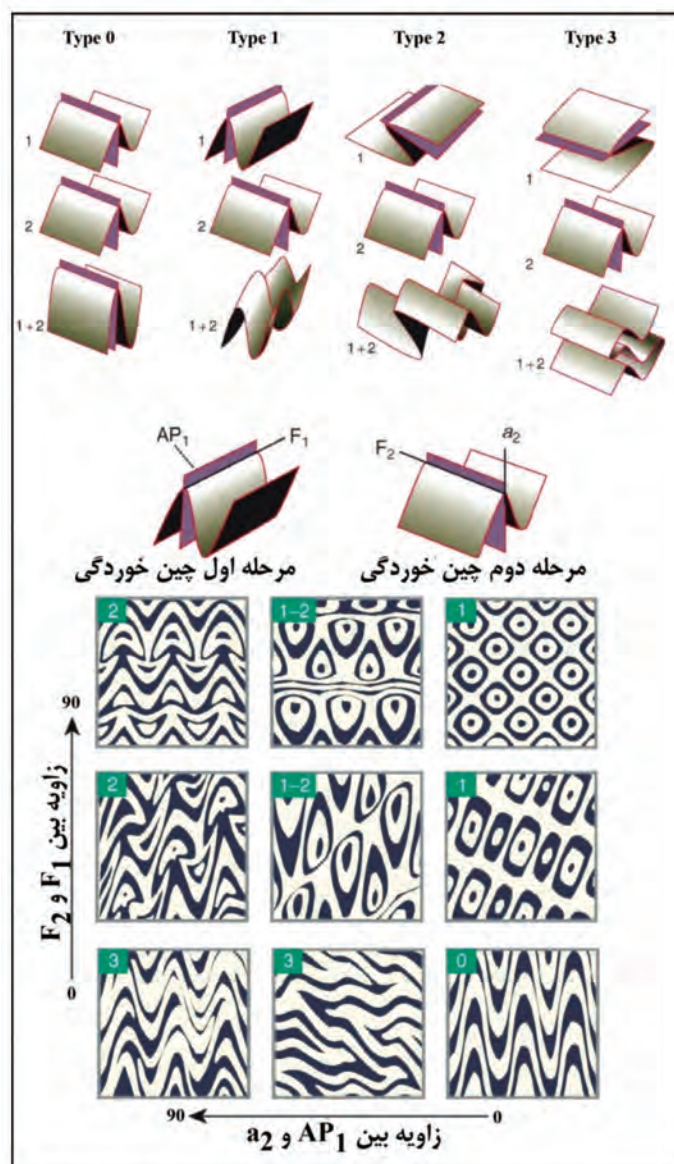
1. Superimposed folds

2. Refolding

3. Fold interference patterns

تداخلی دو بعدی چین‌هایی که طی دو نسل متفاوت به وجود آمده‌اند، بر پایه زاویه بین محور چین نسل اول و دوم (F_1, F_2) و زاویه بین صفحه محوری چین اول (AP_1) و محور چین دوم (a_2) قابل نمایش است (شکل ۴).

شکل ۴ توسط (Ramsay and Hubber 1987) معرفی شده است. الگوی شماره صفر به نام فرانهادگی افزونه، الگوی شماره یک به نام الگوی گنبد و حوضه^۱، الگوی شماره دو به نام الگوی گنبد-هلال-قارچی^۲ و الگوی شماره سه به نام الگوی همگرا-واگر^۳ شناخته می‌شوند. الگوی



شکل ۴. چهار دسته الگوی تداخلی چین خوردگی سه بعدی (بالا) و الگوهای تداخلی دو بعدی حاصل در صفحه افقی (پایین) (برگرفته از (Ramsay and Hubber, 1987)

- 1. Redundant superposition
- 2. Dome and basin
- 3. Dome-crescent-mushroom
- 4. Convergent-divergent pattern

مدل‌سازی الگوهای تداخلی چین‌ها با استفاده از نرم‌افزار متلب

برای دستیابی به تمامی الگوهای تداخلی ممکن از چین‌ها در ناحیه مورد مطالعه به شیوه توضیح داده شده، ابتدا الگوی تداخلی چین نسل دوم بر روی چین نسل اول را به دست می‌آوریم. سپس الگوی تداخلی چین‌های نسل دوم بر چین نسل سوم و در نهایت الگوی تداخلی چین نسل سوم بر چین نسل اول را رسم می‌کنیم. ازانجاکه نرم‌افزار، محور چین و صفحه محوری را به صورت صفحه و زاویه ریک می‌بذرد، لازم است داده‌های مربوط به محور چین خودگی و سطوح محوری نسل‌های مختلف چین خودگی را به صورت سه صفحه مجزا با زاویه ریک مشخص به دست آوریم. با توجه به اینکه در استریوگرام‌های شکل ۳ محورهای میانگین به طور تقریبی بر روی صفحه‌های محوری مربوط قرار دارند، برای تصحیح از نرم‌افزار تکتونیک اف پی استفاده کرده و نقطه معرف محور چین میانگین هر نسل چین خودگی را بر روی دایره بزرگ معرف صفحه محوری میانگین همان نسل منطبق می‌کنیم. جدول ۱ و شکل ۵ نشان‌دهنده مقادیر تصحیح شده محور (روندا/میل و زاویه ریک) و صفحه‌های محوری (شیب و جهت شیب) میانگین مربوط به سه نسل چین خودگی در ناحیه مورد مطالعه برای ورود به نرم‌افزار هستند.

با وارد کردن اطلاعات جدول ۱ در نرم‌افزار متلب، حالت‌های مختلف الگوهای تداخلی چین‌های نسل‌های مختلف رسم می‌شوند. با مقایسه الگوهای رایانه‌ای به دست آمده و الگوهای تداخلی مشاهده شده در صحرا می‌توان فرانهادگی نسل‌های مختلف چین خودگی را ارزیابی کرد.

با توجه به حضور نسل‌های مختلف چین خودگی در مجموعه دگرگون شمال گلپایگان، الگوهای تداخلی متعددی از چین خودگی‌ها حین برداشت‌های صحرایی شناسایی شده‌اند. به منظور تعیین الگوهای تداخلی امکان‌بزیر در ناحیه و انطباق آنها با الگوی تداخلی مشاهده شده از چین‌ها در مقیاس‌های رختمنون و تصویرهای ماهواره‌ای، از کد نگارش شده در نرم‌افزار متلب توسط M.P.J Schöpfer (www.fault-analysis-group.ie) استفاده شده است. روش کار بدین صورت است که با بارگذاری و اجرای این کد در نرم‌افزار متلب، وضعیت محور و صفحه‌های محوری دو چین مشخص توسط نرم‌افزار خواسته می‌شود. این اطلاعات به صورت دایره بزرگ و زاویه ریک توسط کاربر وارد می‌شود. نرم‌افزار ابتدا استریونت مربوط به داده‌ها را نمایش می‌دهد. پس از تایید کاربر، الگوی تداخلی دو بعدی از این چین‌ها به صورت رنگی یا سیاه و سفید رسم می‌شود. الگوی تداخلی حاصل به صورت شش وجه یک مکعب مریع باز شده به نمایش در می‌آید که دو وجه آن دید نقشه‌ای و چهار وجه دیگر دید عمودی هستند. لازم به ذکر است اطلاعاتی در خصوص پارامترهای چین خودگی نیز برای نرم‌افزار قابل تعریف است و برای سهولت کار می‌توان از پیش‌فرض تعیین شده در کد استفاده کرد. خروجی پس از چاپ و برش به صورت الگوی سه بعدی نیز قابل استفاده خواهد بود.

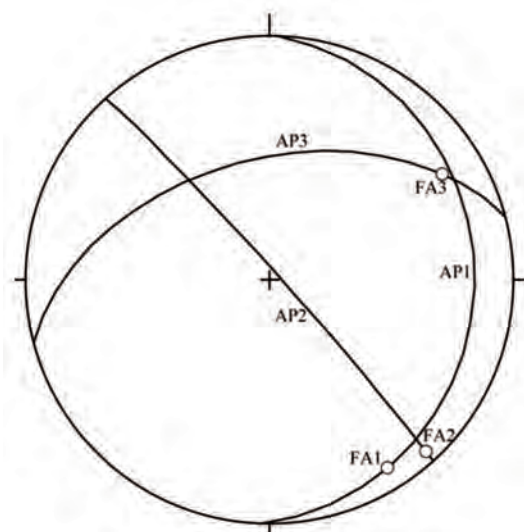
جدول ۱. مختصات محور و صفحه‌های محوری میانگین سه نسل چین خودگی پس از تصحیح توسط نرم‌افزار تکتونیک اف پی، قطب صفحه محوری میانگین و محور ۲ نیز توسط نرم‌افزار استریونت (Allmendinger et al., 2012; Cardozo and All-, 2012) نیز توسط نرم‌افزار اس‌تی‌ریونت (mendinger, 2013) محاسبه شده است.

نسل چین	صفحه محوری میانگین (شیب/جهت شیب)	قطب صفحه محوری میانگین (میل/رونده)	محور میانگین (میل/رونده)	محور (میل/رونده)	زاویه ریک محور روی صفحه (میل/رونده)	محور میانگین (میل/رونده)
F1	۹۲/۱۷	۲۷۲/۷۳	۱۴۸/۱۰	۲۴۵/۳۴	۳۵	۲۴۵/۳۴
F2	۴۸/۸۷	۲۲۲/۳	۱۳۸/۵	۲۶۴/۸۲	۵	۲۶۴/۸۲
F3	۳۴۵/۴۹	۱۶۵/۴۱	۵۹/۱۹	۲۳۹/۷۱	۲۴	۲۳۹/۷۱

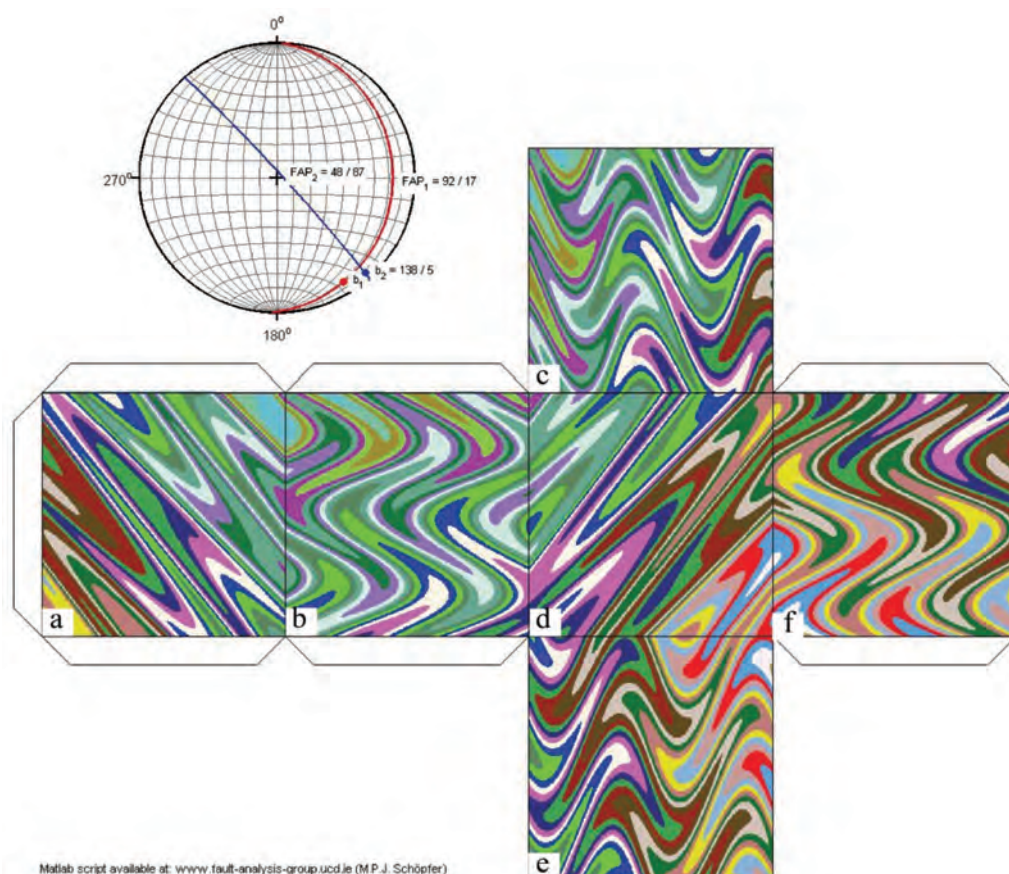
الگوی تداخلی چین نسل دوم بر چین نسل اول: چین

نسل دوم دارای میانگین سطح محوری با شیب ۸۷ درجه در جهت آزیموت ۴۸ درجه و محور با میل پنج درجه در راستای آزیموت ۱۳۸ درجه است و بر روی چین نسل اول با سطح محوری میانگین دارای شیب ۱۷ درجه در راستای آزیموت ۹۲ درجه و محور دارای میل ۱۰ درجه در راستای آزیموت ۱۴۸ درجه فرا نهاده شده است. الگوی تداخلی این دو نسل توسط نرم‌افزار متلب به صورت شکل ۶ رسم شده است.

با توجه به مقادیر به دست آمده برای زاویه بین محور میانگین دو نسل چین خودگی و زاویه بین قطب صفحه محوری میانگین با محور a_2 که به ترتیب ۱۱ و ۹ درجه هستند (شکل ۶ و جدول ۲)، الگوی تداخلی این دو نسل چین خودگی در محدوده الگوی تداخلی شماره صفر و سه نمودار شکل ۴ قرار می‌گیرد. در الگوی رایانه‌ای شکل ۶



شکل ۵. استریوگرام مربوط به محور و صفحه‌های محوری میانگین سه نسل چین خودگی (تصحیح شده توسط نرم‌افزار تکتونیک اف‌پی) (دایره‌های بزرگ نشان‌دهنده صفحه محوری و دایره‌های کوچک نشان‌دهنده محور چین هستند)



شکل ۶. نمایش استریونت مربوط به صفحه‌های محوری و محور میانگین چین‌های نسل اول و دوم و مدل دو بعدی رایانه‌ای از الگوهای تداخلی ایجاد شده حاصل فرانهادگی چین نسل دوم بر روی چین نسل اول

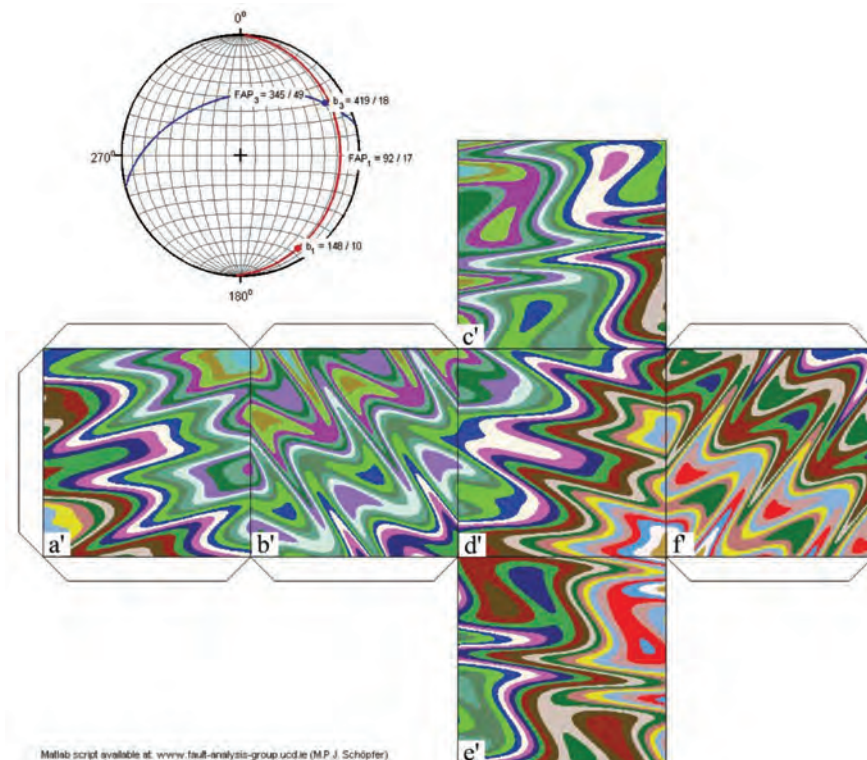
مشابهت بین وجههای a و d که معرف دید نقشه‌ای می‌باشند، با الگوی تداخلی شماره صفر مشخص است. وجههای عمودی، با الگوی تداخلی شماره سه مطابقت دارند.

جدول ۲. مقادیر زاویه‌ای بین محور نسل‌های مختلف چین خوردگی و قطب صفحه محوری میانگین با محور $a2$ که برای پیش‌بینی الگوهای تداخلی نمودار شکل ۴ به کار می‌آیند

نسل‌های چین	زاویه بین محور میانگین دو نسل چین	زاویه بین محور میانگین با محور $a2$
$F2-F1$	11°	9°
$F3-F1$	86°	10°
$F3-F2$	78°	69°

میانگین با محور $a2$ که به ترتیب برابر 86 و 10 درجه هستند (شکل ۷ و جدول ۲)، الگوی تداخلی این دو نسل چین خوردگی می‌تواند به شکل الگوی تداخلی صفر، یک و دو نمودار شکل ۴ ظاهر شود. در الگوی رایانه‌ای شکل ۷ مشابهت بین وجههای d و a' (دید نقشه‌ای) با الگوی تداخلی شماره صفر و یک-دو مشخص است. همچنین وجههای b و f با الگوی صفر و دو و وجههای c و e با الگوی تداخلی شماره صفر و یک-دو مطابقت دارند.

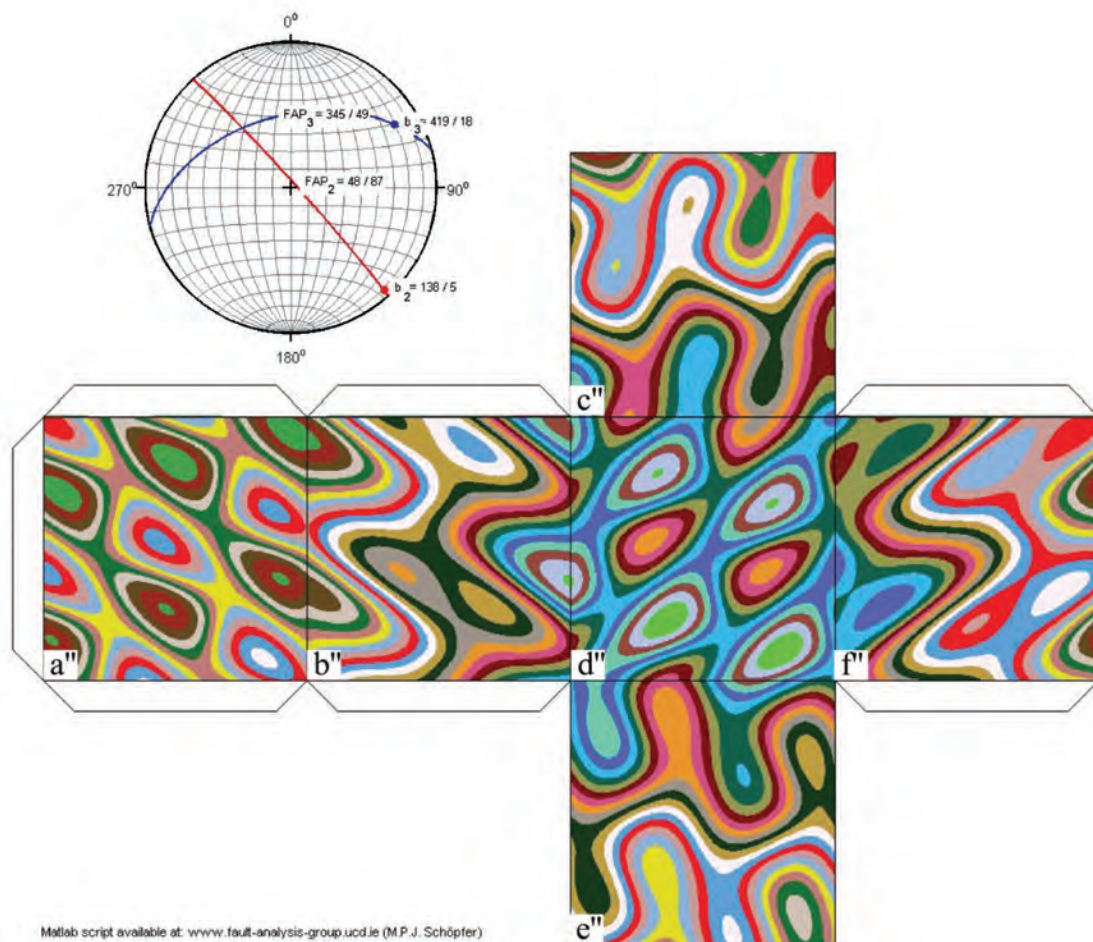
الگوی تداخلی چین سوم بر چین نسل اول: چین سوم دارای سطح محوری میانگین با شیب 49 درجه در جهت آزیموت 345 درجه و محور میانگین با میل 19 درجه در راستای آزیموت 59 درجه است که بر روی چین سوم اول فرا نهاده شده است (جدول ۱). الگوی تداخلی این دو نسل توسط نرمافزار متلب به صورت شکل ۷ رسم شده است. با توجه به مقادیر به دست آمده برای زاویه بین محور دو نسل چین خوردگی و زاویه بین قطب صفحه محوری



شکل ۷. نمایش استریوونت مربوط به صفحه‌های محوری و محور میانگین چین‌های نسل اول و سوم و مدل دو بعدی رایانه‌ای از الگوهای تداخلی ایجاد شده حاصل فرانهادگی چین سوم بر روی چین نسل اول

الگوی تداخلی این دو نسل چین خوردگی می‌تواند به شکل الگوی تداخلی شماره‌های یک و دو در نمودار شکل ۴ ظاهر شود. الگوی رایانه‌ای رسم شده توسط متلب به گونه مشخصی الگوی غالب گنبد و حوضه را نشان می‌دهد. این الگو در دید نقشه‌ای (وجههای "a" و "d") نمود کامل تری دارد.

الگوی تداخلی چین نسل سوم بر چین نسل دوم: الگوی تداخلی این دو نسل توسط نرم‌افزار متلب به صورت شکل ۸ رسم شده است. با توجه به مقادیر زاویه بین محور دو نسل چین خوردگی و زاویه بین قطب صفحه محوری میانگین با محور a2 که به ترتیب برابر ۷۸ و ۶۹ درجه هستند (جدول ۲)،



شکل ۸. نمایش استریوونت مربوط به صفحه‌های محوری و محور چین‌های نسل سوم و دوم و مدل دو بعدی رایانه‌ای به دست آمده حاصل فرانهادگی آنها

است به دو محدودیت اصلی در بازسازی الگوهای تداخلی چین‌ها با استفاده از کد مورد استفاده در متلب اشاره کنیم. اولین محدودیت، نبود توانایی نرم‌افزار در تعیین الگوی تداخلی یک نسل از چین خوردگی بر روی یک الگوی تداخلی از پیش موجود است. دلیل این محدودیت آن است که نرم‌افزار، الگوهای چین خوردگی را نسل به نسل بازسازی می‌کند و قادر نخواهد بود الگوی تداخلی

برای بررسی صحت الگوهای تداخلی به دست آمده بر پایه مدل سازی به مقایسه و انطباق آنها با الگوهای تداخلی مشاهده شده صحرائی می‌پردازیم. مشابهت بین الگوهای مدل سازی شده با الگوهای تداخلی صحرائی تاییدی بر درستی این شیوه در تحلیل چین خوردگی‌های سنگ‌های شمال گلپایگان خواهد بود. پیش از این انطباق لازم

بحث

F3 بر روی F1 در دید نقشه‌ای (وجه^d) و دید عمودی (وجه^c) مطابقت نشان می‌دهند (شکل ۷). در شکل ۹-ث الگوی تداخلی گند و حوضه در متاکربنات‌های جنوب قیدو نمایش داده شده که مشابه با الگوی تداخلی رایانه‌ای به دست آمده از فرانهادگی چین F2 بر روی چین F1 در دید نقشه‌ای است (شکل ۸).

انطباق الگوی رایانه‌ای با الگوهای تداخلی صحرایی در مقیاس تصاویر ماهواره‌ای

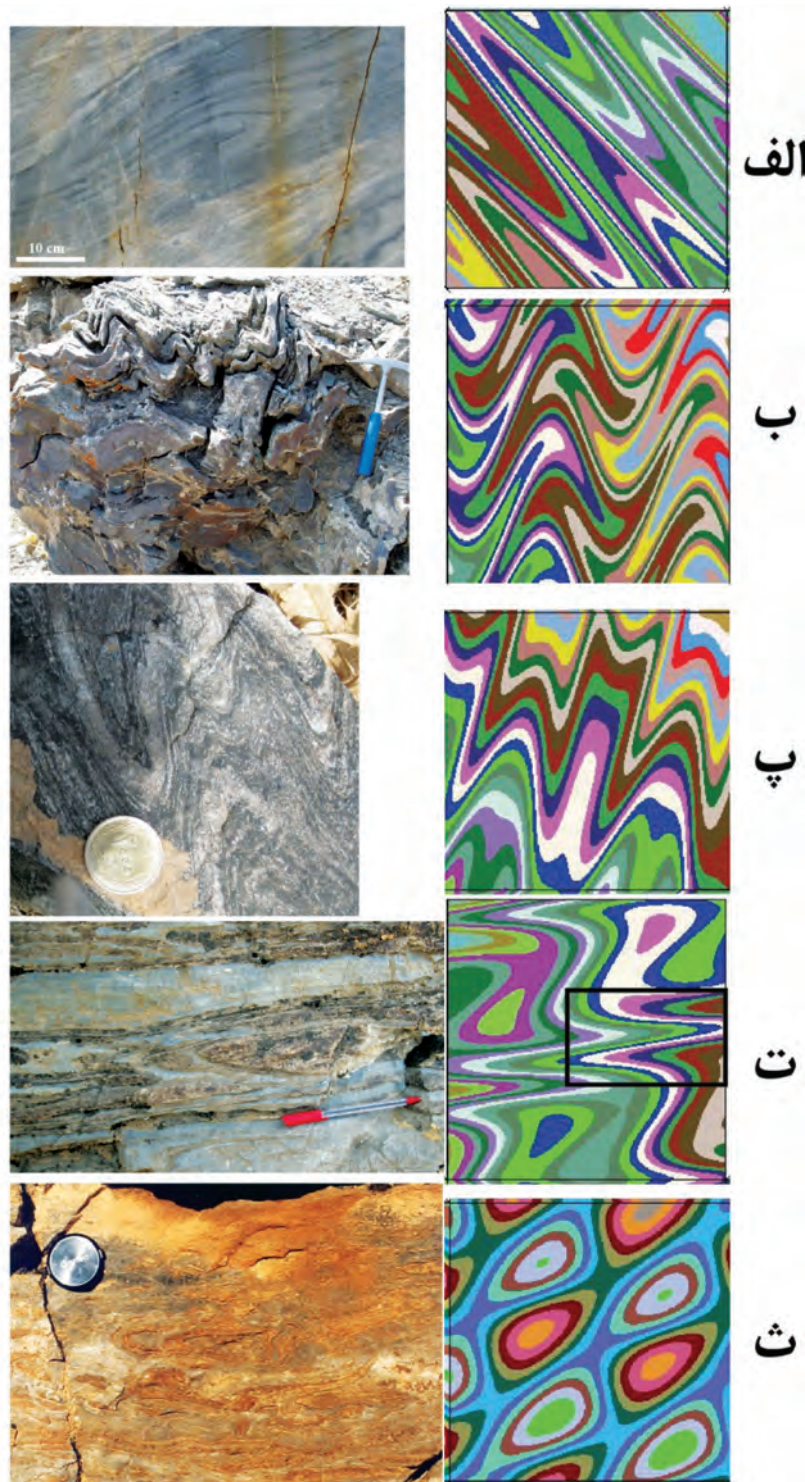
بررسی تصاویر ماهواره‌ای با استفاده از Google Earth در ناحیه شمال گلپایگان نشان می‌دهد که الگوهای تداخلی چین‌ها در مقیاس ناحیه‌ای نیز قابل تشخیص هستند. در شکل ۱۰ چند نمونه از الگوهای تداخلی در مقیاس ناحیه‌ای نشان داده شده‌اند. این الگوها بیشتر در توالی مرمر و شیست در واحدهای سنگی II و III (شکل ۱) قابل شناسایی هستند. شکل ۱۰-الف الگوی تداخلی چین خورده‌گی ناحیه‌ای در مرمرهای جنوب شرق قیدو را نشان می‌دهد. این الگوی تداخلی مطابق با وجه^d الگوی رایانه‌ای شکل ۸ است و دلالت بر فرانهادگی چین F3 بر چین F2 دارد. الگوی تداخلی چین خورده‌گی ناحیه‌ای شکل ۱۰-ب در واحد شیست و مرمر جنوب قیدو با وجه^f الگوی رایانه‌ای شکل ۸ مطابقت دارد و آن هم می‌تواند مربوط به فرانهادگی چین F3 بر روی چین F2 باشد. الگوی تداخلی چین خورده‌گی شکل ۱۰-پ در واحدهای شیست، کالک شیست و مرمر جنوب قیدو مطابق با وجه^a الگوی رایانه‌ای شکل ۶ است و ناشی از فرانهادگی چین F2 بر F1 می‌باشد. الگوی تداخلی شکل ۱۰-ت مربوط به سنگ‌های متاکربناته چین خورده جنوب اوجستان نیز مطابق با وجه^c الگوی رایانه‌ای ارائه شده در شکل ۷ و حاصل فرانهادگی چین نسل سوم بر روی چین نسل اول است.

یک نسل را بر روی الگوی تداخلی دو نسل پیش از خود تعیین نماید. در نتیجه بعضی از الگوهای تداخلی مشاهده شده در صحراء با مدل‌های به دست آمده متفاوت خواهد بود. دومین محدودیت، جهت یافته‌گی صفحاتی هستند که الگوی تداخلی چین‌ها بر روی آن‌ها تظاهر یافته است. در نرم‌افزار، الگوهای تداخلی در دید نقشه‌ای (افقی) و صفحه‌های عمودی به نمایش در می‌آیند، حال آنکه در طبیعت صفحاتی که الگوهای تداخلی بر آنها نمایان است می‌توانند جهت‌های گوناگونی داشته باشند. هرگونه انحراف از برش‌های مرجع می‌تواند تفاوت در شکل الگو را به دنبال داشته باشد.

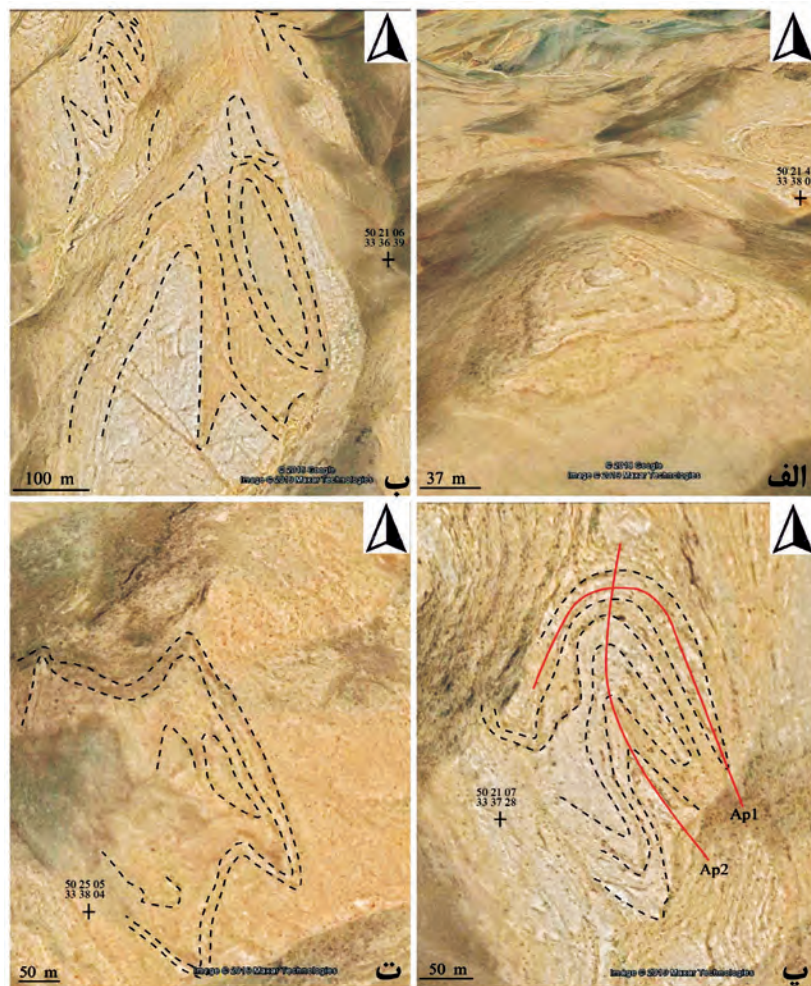
با در نظرگیری این محدودیت‌ها به ارائه شواهد صحرایی از الگوهای تداخلی و انطباق آنها با الگوهای رایانه‌ای به دست آمده می‌پردازیم. الگوهای تداخلی صحرایی در دو مقیاس رخمنون و مقیاس عکس ماهواره‌ای قابل شناسایی هستند.

انطباق الگوی رایانه‌ای با الگوهای تداخلی صحرایی در مقیاس رخمنون

مثال‌هایی از الگوهای تداخلی مشاهده شده در صحراء و انطباق آن‌ها با مدل‌های رایانه‌ای به دست آمده توسط نرم‌افزار متلب در شکل ۹ به نمایش در آمده‌اند. در شکل ۹-الف الگوی تداخلی چین خورده‌گی در مرمرهای جنوب مزابن دیده می‌شود که مشابه با الگوی رایانه‌ای فرانهادگی چین F2 بر روی چین F1، آن‌گونه که در وجه^a (دید افقی) تظاهر یافته می‌باشد (شکل ۶). شکل ۹-ب نشان دهنده الگوی تداخلی مشاهده شده در اسلیت‌های شمال غرب غرقاب است که با الگوی تداخلی رایانه‌ای چین F2 بر روی چین F1 در وجه^e (دید عمودی) مطابقت دارد. شکل ۹-پ و ت به ترتیب نشان دهنده الگوی تداخلی مشاهده شده در گنیس و کالک شیست‌های جنوب اوجستان و جنوب جلماجرد هستند که با الگوی تداخلی رایانه‌ای چین



شکل ۹. مثال هایی از انطباق الگوهای تداخلی چین ها در مقیاس رخمنون با الگوهای یارانه ای به دست آمده توسط نرم افزار متلب، الف و ب) الگوهای تداخلی چین ها در مرمر و اسلیت جنوب مزاین و شمال غرب غرقاب که با الگوی تداخلی یارانه ای چین F2 بر روی F1 در دید افقی و عمودی مطابقت دارد، پ و ت) الگوهای تداخلی چین در گنس و کالک شیست در جنوب اوچستان و جنوب جلامجرد که با الگوی تداخلی یارانه ای چین F3 بر روی چین F1 مشابه دارند، ث) الگوی تداخلی گنبد و حوضه در متاکربنات های جنوب قیدو که مشابه با الگوی رایانه ای به دست آمده حاصل فرانهادگی چین F2 روی چین F1 در دید افقی است.



شکل ۱۰. مثال‌هایی از الگوهای تداخلی چین‌ها در مقیاس ناحیه‌ای (تصاویر ماهواره‌ای Google Earth)، (الف) الگوی تداخلی چین در مرمرهای جنوب شرق قیدو، (ب) الگوی تداخلی چین در توالی شیست و مرمرهای جنوب جلم‌اجرد، (پ) الگوی تداخلی چین مرمر، شیست و کالک شیستهای جنوب قیدو با اثر مشخص صفحه‌های محوری نسل اول و دوم، (ت) الگوی تداخلی چین در سنگ‌های متاکربناته جنوب اوچستان

نتیجه‌گیری

واقعی صحراوی، در مقیاس رخنمون و در مقیاس ناحیه‌ای واقعی صحراوی، در مقیاس رخنمون و در مقیاس ناحیه‌ای دارند. با وجود محدودیت‌هایی که این مدل‌سازی در اطباق با تمامی الگوهای تداخلی مشاهده شده از چین‌ها در سنگ‌های دگرگون شمال گلپایگان دارد، بهره‌گیری از آن به عنوان ابزاری در تحلیل هندسی چین‌خوردگی‌ها، درک رابطه زایشی نسل‌های مختلف چین‌خوردگی و نیز تعیین توالی‌های دگریختی پیشنهاد می‌شود. این شیوه مدل‌سازی رایانه‌ای قابل استفاده در دیگر مناطق دگرگونی که واجد چین‌خوردگی طی رویدادهای متوالی دگریختی هستند نیز می‌باشد.

در این نوشتار چگونگی تهیه الگوهای تداخلی رایانه‌ای از نسل‌های مختلف چین‌خوردگی در مجموعه دگرگونی شمال گلپایگان با استفاده از کد نوشته شده توسط M.P.J Schöpfer در نرم‌افزار متلب تشریح و مدل‌های مربوطه رسم شده‌اند. نتیجه این مدل‌سازی نشان می‌دهد که الگوهای تداخلی گوناگونی از چین‌ها در این مجموعه دگرگونی قابل تشکیل هستند. الگوهای تداخلی به دست آمده توسط نرم‌افزار متلب که بر پایه محور میانگین و صفحه محوری میانگین چین‌خوردگی نسل‌های مختلف تهیه شده‌اند، همخوانی قابل قبولی با الگوهای تداخلی

منابع

- 2006, Eocene gold ore formation at Muteh, San-andaj-Sirjan Tectonic Zone, western Iran: A result of late-stage extension and exhumation of metamorphic basement rocks within the Zagros Orogen. *Economic Geology*.101, 1497-1524.
- Rachidnejad-Omran N., Emami, M.H., Sabzehei, M., Rastad,E., Bellon,H. and Pique, A., 2002. Lithostratigraphie et histoire paléozoïque à paléocène des complexes métamorphiques de la région de Muteh, zone de Sanandaj-Sirjan (Iran méridional). *Comptes Rendus Geosciences*, 334, 1185-1191.
 - Ramsay, J. G. and Huber, M. H., 1987. Modern Structural Geology, Folds and Fractures. Academic Press, 2,700.
 - Sheikholeslami, M.R., Ghassemi, M.R. and Hassanzadeh, J., 2019. Tectonic evolution of the hinterland of the Zagros orogen revealed from the deformation of the Golpaygan Metamorphic Complex, Iran. *Journal of Asian Earth Sciences*, 182, 103929.
 - Tectonics, F.P., Software for structural geology, written by Franz Reiter and Peter Acs.
 - Schöpfer, M.P.J., School of Earth Sciences at University College Dublin. www.fault-analysis-group.ucd.ie/
 - شیخ‌الاسلامی، م.ر. و زمانی‌پدرام، م.، ۱۳۸۴. نقشه زمین‌شناسی یکصدهزارم محلات. سازمان زمین‌شناسی و اکتشافات معدنی کشور.
 - موسوی، ا. و مجل، م.، ۱۳۹۳. ساختار پهنه برشی و الگوهای تداخلی چین‌ها در شمال اسفجرد، پهنه سنتندج-سیرجان. *فصلنامه علوم زمین*، ۹۱، ۱۳۰-۱۱۹.
 - رضایی‌نژاد، س. شیخ‌الاسلامی، م.ر. رشیدنژاد عمران، ن. و پشتکوهی، م.، ۱۳۹۶. عناصر ساختاری مجموعه دگرگون جنوب محلات. *فصلنامه زمین‌شناسی ایران*، ۴۳، ۱۱۹-۱۳۲.
 - Allmendinger, R. W. Cardozo, N. and Fisher, D., 2012. *Structural Geology Algorithms: Vectors and Tensors in Structural Geology*: Cambridge University Press, 302.
 - Cardozo, N. and Allmendinger, R.W., 2013. *Spherical projections with OSX Stereonet*:
 - Computers and Geosciences, 51, 193-205, doi:10.1016/j.cageo.2012.07.021.
 - Moosavi, E.. Mohajjel,M. and Rashidnejad-Omran, N., 2014. Systematic changes in orientation of linear mylonitic fabrics: An example of strain partitioning during transpressional deformation in north Golpaygan, Sanandaj-Sirjan zone, Iran. *Journal of Asian Earth Sciences*, 94, 55-67.
 - Moritz, R., Ghazban, F. and Brad, S.,